## ФИЗИКА ТВЕРДОГО ТЕЛА

УДК 548:537.611.44

О КОРРЕЛЯЦИИ ШИРИНЫ ОБЛАСТИ ФАЗОВОГО ПЕРЕХОДА В РАЙОНЕ ТОЧКИ КЮРИ И ДИСПЕРСИИ РАСПРЕДЕЛЕНИЯ СВЕРХТОНКИХ МАГНИТНЫХ ПОЛЕЙ В СПЛАВАХ  $Fe_{75}(Cr_xCo_{1-x})_{25}$ 

П. Н. Стеценко, М. А. Мостафа (АРЕ), С. Д. Антипов, Л. А. Кондрашова

(кафедра общей физики для естественных факультетов)

На основе результатов исследования температурной зависимости намагниченности и функции распределения сверхтонких магнитных полей на ядрах  $^{57}$  Fe быстроза-каленных сплавов  $Fe_{75}(Cr_xCo_{1-x})_{25}$  устанавливается корреляция между шириной области фазового перехода в районе точек Кюри и дисперсией функции распределения сверхтонких магнитных полей.

Известно, что температура Кюри  $T_c$  ферромагнитных сплавов определяется алгебраической суммой всех обменных взаимодействий данного атома со всеми ближайщими и последующими соседними атомами, т. е. значение  $T_c$  сплавов зависит от типов взаимодействий и расстояний между взаимодействующими атомами. Изменение межатомных расстояний и наличие различных типов взаимодействий приводят к существованию распределения величин энергий обменных взаимодействий. Поэтому для таких сплавов можно говорить о наличии функции распределения точек Кюри  $P(T_c)$ , т. е. существует широкая область перехода ферромагнитного сплава в парамагнитное состояние. Наличие распределения различных атомных соседств и межатомных расстояний приводит к существованию распределения величин локальных магнитных моментов атомов д в сплаве, которое будет влиять на распределение сверхтонкого поля. Мы будем рассматривать сверхтонкое поле на ядре 57 Fe. Это поле обусловлено результирующей спиновой плотностью ѕ-электронов на ядре, поляризованной взаимодействием с локальным магнитным моментом данного иона, величина которого зависит от локального атомного окружения, а также взаимодействием со всеми магнитными атомами окружения.

Таким образом, мы будем иметь для таких сплавов распределение сверхтонких магнитных полей P(H) на ядрах  $^{57}$ Fe сплава.

Представляет интерес рассмотреть вопрос о существовании корреляционной зависимости между распределениями  $P(H_{\rm Fe})$  и  $P(T_c)$  и их дисперсиями в сплавах, имеющих широкую область перехода из ферромагнитного состояния в парамагнитное. В качестве таковых были выбраны быстрозакаленные сплавы  ${\rm Fe_{75}}({\rm Cr_xCo_{1-x}})_{25}, 0,00{<}x{<}<1,00.$ 

Все сплавы получались путем двойного переплава из карбонильного железа и электролитических хрома и кобальта чистоты 99,9 вес. % в индукционной печи (сплавы 1,2) или методом электронно-лучевой плавки (остальные сплавы) в атмосфере аргона. Все исследованные образцы находились в разупорядоченном состоянии после гомогенизирующего отжига в вакуумной печи в течение 75—100 ч при температуре  $1050\,^{\circ}$ С, затем отжига при температуре  $1150\,^{\circ}$ С в течение двух часов в атмосфере гелия и последующей закалки со скоростью ( $8\div 10$ )  $\cdot 10^3$  град/с в 10% -й раствор NaCl в воде. Рентгенограммы образ-

цов, снятые на Со-Ка-излучении, показали, что все сплавы имеют

разупорядоченную ОЦК-структуру.

Чтобы проверить магнитную однофазность образцов, были проведены измерения их удельной намагниченности в зависимости от температуры  $\sigma(T)$  в переменном магнитном поле напряженностью  $H{=}500$  Э,  $f{=}70$  Гц. Кривые температурной зависимости  $\sigma(T)$  в области высоких температур представлены на рис. 1. Из рис. 1 можно сделать вывод

о том, что с увеличением содержания Со в сплавах уменьшается ширина области перехода в парамагнитное состояние вблизи температуры Кюри. Кривые удельной намагниченности сплавов в зависимости от температуры говорят о том, что при закалке с высоких температур (≽1150°) исходит внутрифазовое расслоение твердого раствора, причем этот процесс более существен в сплавах с большей концентрацией Сг.

По этим кривым определялись температуры Кюри образцов как точки пересечения касательной к кривой  $\sigma(T)$  с осью температур в области максимального спада намагниченности. Най-

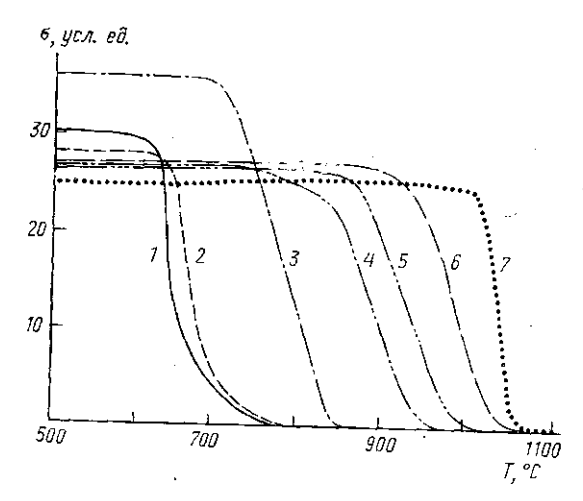


Рис. 1. Высокотемпературная часть зависимости намагниченности сплавов системы  $F_{76}$  ( $Cr_xCo_{(-x)}_{25}$  от температуры: x=0.00 (1); 0.21 (2); 0.37 (3); 0.62 (4); 0.78 (5); 0.91 (6) и 1.00 (7)

денные экспериментальные значения температур Кюри для различных сплавов как функция концентрации хрома в сплавах представлены на рис. 2 (кривая I). Из рис. 2 видно, что температура Кюри, как и следовало ожидать, имеет максимальное значение для сплава  $F_{77}\text{Co}_{23}$  и монотонно, но не по линейному закону, убывает от 1070 до  $640^{\circ}$  С при замещении атомов Со атомами Сг.

Поскольку ширина области перехода сплавов в парамагнитное состояние изменяется в широких пределах температур (90—230°С), представляется необходимым говорить о функции распределения температуры Кюри различных кластеров —  $P(T_c)$ . Тогда может быть введена средняя эффективная температура Кюри  $\overline{(T_c)}_{\rm et}$  следующим образом:

$$\overline{(T_c)}_{\text{ef}} = \frac{1}{\Delta T_{k_1}} \int_{T_1}^{T_{\text{fin}}} T_c P(T_c) dT$$

(см. [1]), где  $\Delta T_{k_1} = T_{\text{fin}} - T_1$ , а  $T_1$  и  $T_{\text{fin}}$  — температуры начала и конца перехода в парамагнитное состояние. При расчетах весь температурный интервал перехода разбивался на малые интервалы  $\Delta T_i$ , в пределах которых температура Кюри считалась постоянной  $(T_c^i)$ , и величина  $P(T_c^i)$  определялась следующим выражением:

$$P(T_c^i) = \frac{\frac{(I_s)_{T_c^i} - (I_s)_{T_c^{i+1}}}{(I_s)_{T_c}},$$

где  $(I_s)_{T_c^i}$  — значение намагниченности насыщения для кластера с температурой  $T_c{}^i$ , а  $(I_s)_{T_s}$  — значение  $I_s$  при температуре  $T_1$  в начальной области магнитного перехода. Определенные таким образом величины  $\overline{(T_c)_{\rm ef}}$  для сплавов в зависимости от концентрации хрома представлены на рис. 2 (кривая 2). Отметим, что значения  $\overline{(T_c)_{\rm ef}}$  лежат ниже значений  $T_c$ , определенных первоначальным способом, но поведение концентрационной зависимости аналогично.

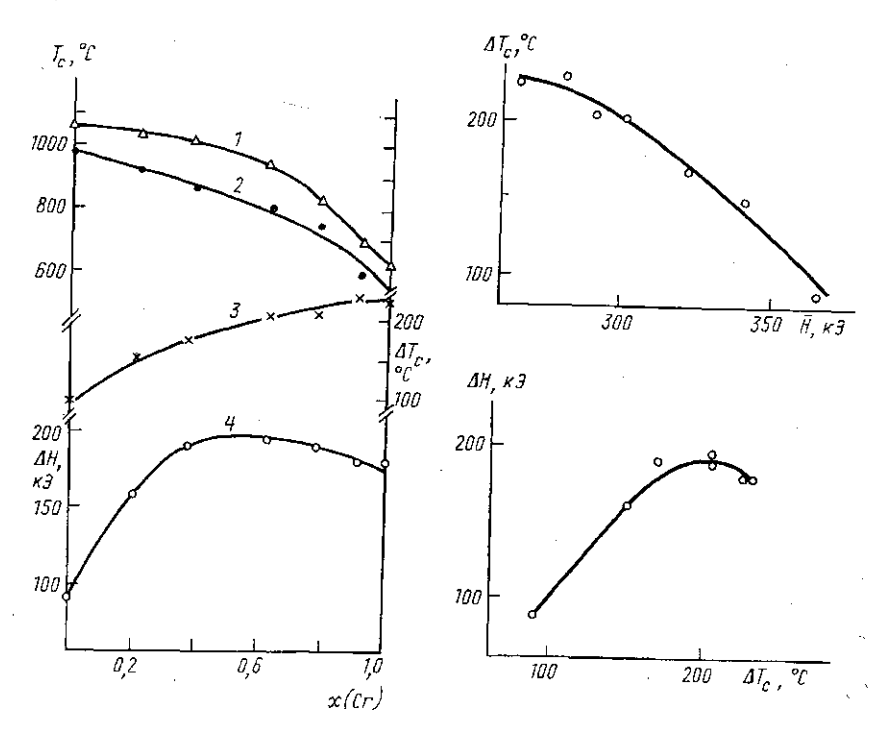


Рис. 2. Зависимости температур Кюри, определенных разными способами (1, 2), ширины распределения сверхтонких полей  $\Delta H$  (4), ширины области перехода в районе точки Кюри  $\Delta T_C$  (3) сплавов от содержания в них атомов хрома

Рис. 3. Зависимость ширины области перехода  $\Delta T_C$  от величины среднего сверхтонкого поля на ядрах  $^{57}$  Fe в сплавах

Рис. 4. Зависимость ширины распределения сверхтонких полей  $\Delta H$  от ширины области перехода в районе точки Кюри  $\Delta T_C$  сплавов

Повторные измерения намагничености образцов в магнитометре в зависимости от температуры для данной системы сплавов показали, что подобная термомагнитная обработка не приводит к заметным изменениям структурного состояния сплавов в рассматриваемой области составов.

В работе были также измерены для данной серии сплавов мёсс-бауэровские спектры поглощения на ядрах  $^{57}$ Fe на ЯГР-спектрометре, работающем в режиме постоянного ускорения. Источником являлся изотоп  $^{57}$ Co на палладиевой подложке. Соответствующие мёссбауэровские спектры приведены в работе [2]. Все спектры, кроме спектра образца  $F_{77}$ Co<sub>23</sub>, имеют сложную, плохо разрешенную структуру, связанную с наличием распределения эффективных полей  $P(H_{Fe})$  на ядрах  $^{57}$ Fe, ко-

торые обусловлены неэквивалентными окружениями резонансных ядер. Расчет функций распределения сверхтонких полей для сплавов описан в работе [3]. Так же, как кривые температурной зависимости удельной намагниченности, на которых наблюдается размытый переход в парамагнитное состояние закаленного сплава, кривые  $P(H_{\rm Fe})$  свидетельствуют о том, что уже в процессе закалки происходит внутрифазовое расслоение твердого раствора и возникают дисперсные области с вариацией концентрации компонент. Так как эти области малы и структура их непрерывным образом переходит в структуру матрицы, то наличие этих областей не обнаруживается на рентгенограммах.

Ширина функции распределения  $\Delta H$ , определенная по нижней части кривой зависимости  $P(H_{\rm Fe})$  [3], представлена на рис. 2 кривой 4 в функции от концентрации хрома x в сплавах. Кривой 3 показано изменение ширины температурного интервала перехода из ферромагнитного состояния в парамагнитное в районе температуры Кюри сплавов  $(\Delta T_c(x))$ . Обе кривые свидетельствуют о том, что расслоение в сплавах при закалке с высоких температур происходит интенсивнее в сплавах с большим содержанием хрома. Это расслоение сплава приводит к образованию кластеров, структура которых может отличаться от матри-

цы как по составу, так и по величине межатомных расстояний.

Поскольку кластеры отличаются по составу от матрицы, это приводит к тому, что атомы железа (ядра <sup>57</sup>Fe) могут иметь различное число одноименных ближайших соседей в пределах α-фазы сплава. Каждой из этих конфигураций в мёссбауэровском спектре будет соответствовать свой секстет линий, причем магнитное расщепление будет тем меньше, чем меньше соседних атомов железа. Наложение этих секстетов в конечном счете и приводит к появлению функций распределения эффективных полей со своими весами и своими дисперсиями.

Заметим, что ширина перехода в парамагнитное состояние  $\Delta T_c$  и ширина  $\Delta H$  монотонно растут с увеличением содержания Сг в сплавах. Для выяснения корреляции между этими величинами были построены графики зависимости  $\Delta T_c$  от величины среднего эффективного магнитного поля на ядрах железа H [2] (рис. 3), а также  $\Delta H$  от  $\Delta T_c$  (рис. 4). Эти зависимости приводят к выводу о том, что если в сплаве с увеличением внутрифазового расслоения растет ширина перехода в области температуры Кюри, то одновременно увеличивается и ширина распределения сверхтонких полей. Это обусловлено вкладом в сверхтонкое поле на ядрах атомов Fe от поляризации 4S-электронов проводимости магнитными моментами как ионного остова Fe, так и соседних ионов.

## ЛИТЕРАТУРА

[1] Горюнов Г. Е. Дис. ... канд. физ.-мат. наук. М., 1984. [2] Антипов С. Д., Кондрашова Л. А., Стеценко П. Н.//Вестн. Моск. ун-та. Физ. Астрон. 1984. 25, № 3. С. 53. [3] Стеценко П. Н., Антипов С. Д., Суриков В. В. и др. Деп. ВИНИТИ № 4031-В86 от 04.06.86.

Поступила в редакцию 20.06.89